

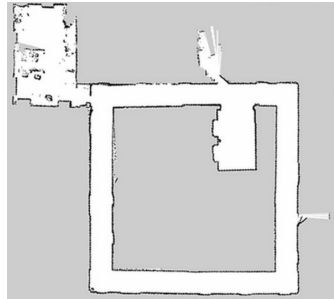
# Разработка и анализ методов восстановления карты проходимости на основе показаний датчиков измерения расстояния

Денис Шепелев

студент группы 073а  
ФУПМ МФТИ

# Карта проходимости

- ▶ Карта проходимости - сетка, состоящая из квадратных клеток одинакового размера.
- ▶ Клетка карты - некоторая область пространства, содержащая информацию о наличии препятствия в соответствующей этой клетке территории.
- ▶ Такие карты используются в мобильной робототехнике для навигационных задач.



# Датчики измерения расстояния

- ▶ Сонары
- ▶ Лидары
- ▶ Стереокамеры

Сонары выбраны в качестве основного датчика, так как они значительно дешевле и доступнее лидаров, и могут использоваться при любом освещении, в отличие от стереопары.

# Постановка задачи восстановления карты проходимости

## Дано:

- ▶ Картируемое окружение статично.
- ▶ Даны наблюдения датчиков:

$$Z = \{z_1, \dots, z_T\}$$

$$z_t = (x_t, y_t, \varphi_t, r_t)$$

## Цель:

- ▶ Восстановить карту проходимости  $m$  на основе наблюдений датчиков  $Z$ .

# Существующие методы картирования

На данный момент можно выделить два семейства методов восстановления карты проходимости

- ▶ основанные на обратной модели сенсора:

$$p(m|Z) \tag{1}$$

- ▶ основанные на прямой модели сенсора:

$$p(Z|m) \tag{2}$$

# Картирование на основе обратной модели сенсора

Допущения метода:

- ▶ Клетки карты  $m_i$  - независимые случайные величины. Каждая ячейка карты  $m$  хранит вероятность занятости  $m_i$ , с учётом наблюдений  $Z$ :

$$p(m|Z) = \prod_i p(m_i|Z) \quad (3)$$

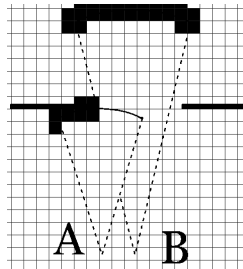
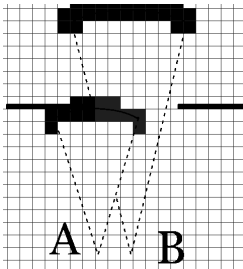
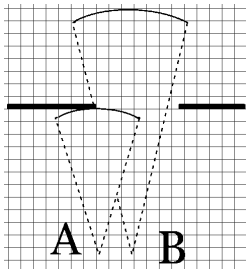
▶

$$p(z_t|m, z_{1:t-1}) = p(z_t|m) \quad (4)$$

Значения в клетках обновляются по формуле:

$$\frac{p(m_i|z_{1:t}, x_{1:t})}{1 - p(m_i|z_{1:t}, x_{1:t})} = \frac{p(m_i|z_t, x_t)}{1 - p(m_i|z_t, x_t)} \frac{p(m_i|z_{1:t-1}, x_{1:t-1})}{1 - p(m_i|z_{1:t-1}, x_{1:t-1})} \frac{1 - p(m_i)}{p(m_i)} \quad (5)$$

Метод и работает в режиме реального времени, однако когда допущения описанного метода неверны, карта проходимости, построенная с его помощью, может содержать грубые ошибки:



# Картирование на основе прямой модели сенсора

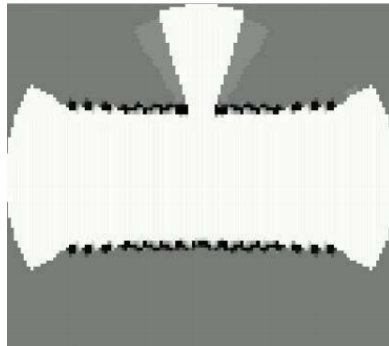
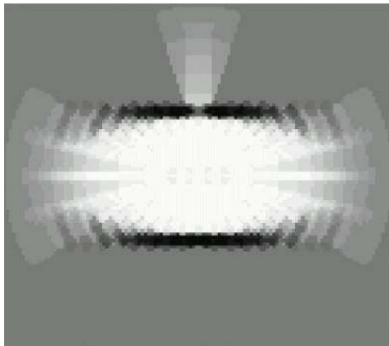
*Основная идея методов, основанных на прямой модели:*

- ▶ Каждая клетка может принимать только два значения занятости: 0 - свободная от препятствий ячейка, 1 - занята каким либо препятствием.
- ▶ Прямая модель  $p(Z|m)$  показывает, на сколько хорошо некоторая карта  $m$  объясняет показания сонаров  $Z$ .
- ▶ Таким образом, задача картирования сводится к поиску такой карты  $m^*$ , которая максимизирует значение  $p(Z|m)$ :

$$m^*(Z) = \underset{m}{\operatorname{argmax}} p(Z|m) \quad (6)$$

Проблема большинства таких алгоритмов - невозможность имплементации для работы в режиме реального времени.





**Рис. 1 :** Результаты картирования двери, используя наблюдения сонаров. (а) - результаты алгоритма на основе обратной модели, (б) - на основе ЕМ-алгоритма с прямой моделью, предложенной в работе Себастьяна Труна.

## Цель работы

Разработка методов восстановления карты проходимости, используя наблюдения сонаров, которые могут быть имплементированы для работы в режиме реального времени, и картирующие лучше традиционного метода, основанного на обратной модели.

# Предложенные в работе методы картирования

В данной работе предложены два новых метода построения карты проходимости:

- ▶ Первый метод основан на прямой модели, карта проходимости находится с помощью метода стохастического градиента.
- ▶ Во втором методе предложена новая прямая модель сонара, с помощью которой задачу картирования можно свести к задаче минимизации непрерывной невязки.

## Описание прямой модели, использованной в алгоритме картирования методом стохастического градиента

Пусть внутри области видимости сонара находятся  $K$  препятствий, отсортированных в порядке возрастания дистанции  $d_k$ . Через  $\{c_*, c_0, c_{1,K}\}$  будем обозначать множество различных сценариев работы сонара, через  $c_*$  - случайный выброс,  $c_0$  - измерение  $R_{max}$ .

1. Пусть реализовался случай, когда измерение было порождено событием  $c_k$ ,  $k \in \{0, \dots, K\}$

$$p(z|m, c_k) = \frac{1}{\sqrt{2\pi\sigma^2}} e^{-\frac{1}{2} \frac{(z-d_k)^2}{\sigma^2}} \quad (7)$$

2. Если реализовался случай  $c_*$ , то

$$p(z|m, c_*) = \frac{1}{R_{max}} \quad (8)$$

Окончательная формула для описанной прямой модели:

$$\begin{aligned} p(z|m) = & \frac{1}{R_{max}} p_{rand} \\ & + \sum_{i \in \{1, \dots, K\}} \frac{1}{\sqrt{2\pi\sigma^2}} e^{-\frac{1}{2} \frac{(z-d_k)^2}{\sigma^2}} (1 - p_{rand})(1 - p_{hit})^{k-1} p_{hit} \quad (9) \\ & + \frac{1}{\sqrt{2\pi\sigma^2}} e^{-\frac{1}{2} \frac{(z-R_{max})^2}{\sigma^2}} (1 - p_{rand})(1 - p_{hit})^K \end{aligned}$$

# Картирование методом стохастического градиента

Вводится следующая функция от  $m$  при заданных наблюдениях  $Z$ :

$$\Phi(m, Z) = \phi_{sonars}(m, Z) + \phi_{occupancy}(m) + \phi_{borders}(m), \quad (10)$$

Задача картирования сводится к поиску карты  $m^*$ , которая максимизирует 10:

$$m^*(Z) = \operatorname{argmax}_m \left( \phi_{sonars}(m, Z) + \phi_{occupancy}(m) + \phi_{borders}(m) \right) \quad (11)$$

Рассмотрим составляющие части функции  $\Phi(m, Z)$ :

1.  $\phi_{sonars}$  - распределение наблюдений сонаров  $z_t$  при заданной карте проходимости  $m$ .

$$\phi_{sonars}(m, Z) = p(z_1, \dots, z_T | m) = \prod_t p(z_t | m) \quad (12)$$

2.  $\phi_{occupancy}(m)$  отвечает за априорные знания о проходимости карты

$$\phi_{occupancy}(m) = \sum_{m_i} w_o o(m_i) \quad (13)$$

При  $w_o < 0$  карта  $m$  штрафуются за каждую занятую клетку  $m_i$ .

3.  $\phi_{borders}(m)$  представляет собой следующую сумму

$$\phi_{borders}(m) = \sum_{m_i} w_b n^2(m_i) \quad (14)$$

где  $n(m_i)$  - число таких соседей клетки  $m_i$ , состояние которых не совпадает с состоянием  $m_i$ . При  $w_b < 0$  клетка штрафуются за каждого соседа, состояние которого не совпадает со состоянием клетки.

Оптимизационная задача (11) решается методом стохастического градиента. Каждый оптимизационный шаг состоит из следующих действий:

1. Случайным образом выбирается клетка  $m_i$  и значение проходимости  $o(m_i)$  инвертируется

$$o^*(m_i) = 1 - o(m_i)$$

2. Для нового состояния клетки  $m_i$  пересчитываются  $\phi_{sonars}(m, Z)$ ,  $\phi_{occupancy}(m)$  и  $\phi_{borders}(m)$ .
3. При  $\Phi^*(m, Z) > \Phi(m, Z)$  или с вероятностью  $p_{random\_factor}$  сохраняется  $o^*(m_i)$  и  $\Phi^*(m, Z)$ ,  $\phi_{sonars}^*(m, Z)$ ,  $\phi_{occupancy}^*(m)$ ,  $\phi_{borders}^*(m)$ ; иначе возвращаемся в предыдущее состояние.



# Картирование методом градиентного спуска

Представим клетки карты проходимости  $m$  как переменные  $x_i$ , которые принимают значения от 0 до 1 и характеризуют степень занятости ячеек.

Каждое наблюдение сонара порождает два множества клеток:

- ▶  $\Omega_{free}(m, z)$  - суммарная занятость клеток внутри этого множества, должно быть не больше некоторого порога.
- ▶  $\Omega_{occ}(m, z)$  - суммарная занятость клеток внутри этого множества, должно быть не меньше некоторого порога.

## Описание прямой модели, использованной в алгоритме картирования методом градиентного спуска

$$\psi = \psi_{free} + \psi_{occ} \quad (15)$$

- ▶  $\psi_{free} = \psi_{free}(X_{free})$  - значение зависит от суммарной эффективной занятости  $X_{free}$  внутри  $\Omega_{free}$ . Если  $X_{free}$  больше некоторого порога, то значение штрафа достаточно велико, иначе - небольшое.
- ▶  $\psi_{occ} = \psi_{occ}(X_{occ})$  - значение зависит от суммарной эффективной занятости  $X_{occ}$  внутри  $\Omega_{occ}$ . Если  $X_{occ}$  меньше некоторого порога, то значение штрафа достаточно велико, иначе - небольшое.
- ▶ Эффективная занятость множества клеток  $\Omega$  считается следующим образом

$$X_{\Omega} = \sum_{x_i \in \Omega} x_i w_i \quad (16)$$

Функции штрафа - кусочно линейные функции вида:

$$\psi_{free}^t = \begin{cases} \alpha_{free} X, & X < X_{free}^t \\ \alpha_{free} X_{free}^t + \beta_{free}^t (X - X_{free}^t), & X \geq X_{free}^t \end{cases} \quad (17)$$

$$\psi_{occ}^t = \begin{cases} 1 - \beta_{occ}^t X, & X < X_{occ}^t \\ 1 - \beta_{occ}^t X_{occ}^t - \alpha_{occ} (X - X_{occ}^t), & X \geq X_{occ}^t \end{cases} \quad (18)$$

# Картирование методом градиентного спуска

Для каждой клетки вводится кусочно линейная регуляризация  $R^i(x_i)$ :

$$R^i(x_i) = \begin{cases} c_1(x_i - 1), & x_i > 1 \\ c_2 x_i, & x_i \in [0, 0.5] \\ c_2(1 - x_i), & x_i \in [0.5, 1] \\ -c_1 x_i, & x_i < 0 \end{cases} \quad (19)$$

Таким образом, задача картирования сводится к минимизации непрерывного штрафа:

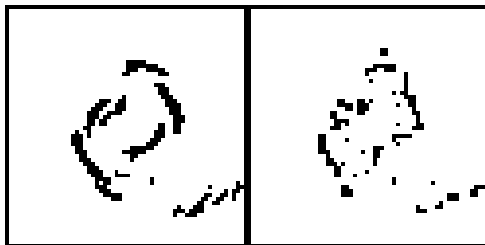
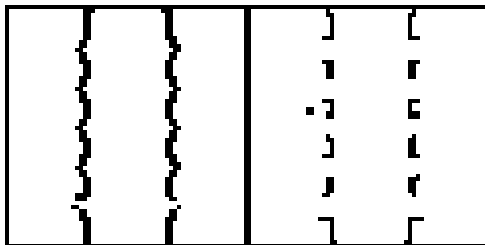
$$m^*(Z) = \underset{m}{\operatorname{argmin}} \left( \sum_{x_i} R^i(x_i) + \sum_{t: z_t \in Z} (\psi_{free}^t + \psi_{occ}^t) \right) \quad (20)$$

## Режим реального времени

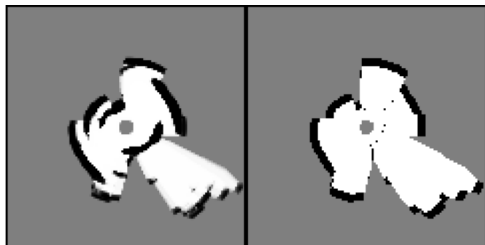
Чтобы предложенные методы могли работать в режиме реального времени, нужно ограничить число наблюдений. Для этого можно воспользоваться следующими способами:

- ▶ Использовать скользящее окно и рассматривать последние  $N_{max}$  наблюдений.
- ▶ В каждом узле трехмерной сетки  $(x_i, y_i, \varphi_i)$  хранится список наблюдений  $z_t = (x_t, y_t, \varphi_t, r_t)$ , которые принадлежат соответствующей части пространства:  $x_t \in [x_i - \Delta_x, x_i + \Delta_x]$ ,  $y_t \in [y_i - \Delta_y, y_i + \Delta_y]$  и  $\varphi_t \in [\varphi_i - \Delta_\varphi, \varphi_i + \Delta_\varphi]$ . Тогда в каждом узле можно хранить  $N_{max}$  последних измерений или некоторым образом фильтрованные наблюдения. При этом масштаб этой сетки, может не совпадать с масштабом карты проходимости.

# Результаты картирования методом стохастического градиента



## Результаты картирования методом градиентного спуска



# Заключение

- ▶ В результате работы исследованы различные метода восстановления карты проходимости с помощью наблюдений сонаров. Оказалось, что традиционные методы восстанавливают карты с грубыми ошибками, другие подходы невозможно использовать в режиме реального времени.
- ▶ В работе разработаны два новых метода картирования, предложена новая прямая модель сонара.
- ▶ Предложенные методы картируют лучше традиционного метода и могут быть использованы в режиме реального времени.